



بهبود فرایند جستجوی الگوریتم بهینه‌سازی وال با استفاده از نظریه تکامل داروین و

سیستم استنتاج فازی

محسن پرهیزگار^(۱) سیدمحمدحسین معطر^(۲)*

(۱) گروه مهندسی کامپیوتر، واحد فردوس، دانشگاه آزاد اسلامی، فردوس، ایران

(۲) گروه مهندسی کامپیوتر، واحد مشهد، دانشگاه آزاد اسلامی، مشهد، ایران*

(تاریخ دریافت: ۱۴۰۱/۰۷/۲۳ تاریخ پذیرش: ۱۴۰۱/۱۲/۱۸)

چکیده

الگوریتم بهینه‌سازی وال (WOA) را به دلیل توانایی اکتشاف و بهره‌برداری، می‌توان یک بهینه‌ساز سراسری در نظر گرفت. با این حال، همچنان این الگوریتم از نظر دقت و سرعت همگرایی ضعیف است و در برخی مسائل جوابهایی در اطراف بهینه سراسری تولید می‌کند. در این مقاله، با استفاده از اصل تکاملی داروین و ترکیب مکانیزم تولید مثل با الگوریتم WOA، اکتشاف و بهره‌برداری الگوریتم را بهبود داده‌ایم. هدف از این ترکیب بهبود دقت همگرایی الگوریتم است. در این روش ترکیبی از عملگر ادغام و جهش به ترتیب به منظور بهبود بهره‌برداری و اکتشاف استفاده شده است. عملگر جهش با فراهم کردن شرایط تصادفی بیشتر، باعث بهبود اکتشاف الگوریتم می‌شود. عملگر ادغام با ترکیب بهترین موقعیت با دیگر عناصر جستجو باعث بهبود بهره‌برداری الگوریتم می‌شود. همچنین از یک سیستم استنتاج فازی (FIS) به منظور ایجاد تعادل بین فاز اکتشاف و بهره‌برداری استفاده کرده‌ایم. استفاده از FIS در روش پیشنهادی باعث می‌شود فازهای اکتشاف و بهره‌برداری در هر بار اجرا متناسب با نیاز تنظیم شوند. مقایسه عملکرد روش پیشنهادی بر روی ۲۳ تابع محک، نشان داد روش پیشنهادی عملکرد بهتری نسبت به الگوریتم‌های مورد مقایسه دارد. همچنین آزمایشات نشان می‌دهد که با استفاده از رویکردهای پیشنهادی الگوریتم زودتر همگرا می‌شود.

کلمات کلیدی: نظریه تکامل داروین، الگوریتم بهینه‌سازی وال، الگوریتم ژنتیک گل‌میخ، سیستم استنتاج فازی

* عهده‌دار مکاتبات:

محمدحسین معطر

نشانی: گروه مهندسی کامپیوتر، واحد مشهد، دانشگاه آزاد اسلامی، مشهد، ایران

پست الکترونیکی: moattar@mshdiau.ac.ir

با توجه به ظهور مسائل بهینه‌سازی پیچیده در سال‌های اخیر و ناتوانی روش‌های سنتی بهینه‌سازی در حل این مسائل، اخیراً شاهد ظهور تکنیک‌های بهینه‌سازی متفاوتی هستیم که از جمله‌ی آنها می‌توان به الگوریتم‌های فرااکتشافی اشاره کرد. الگوریتم‌های فرااکتشافی به منظور حل مسائل پیچیده ارائه شده‌اند. روش‌های بهینه‌سازی الهام گرفته از طبیعت، از جمله الگوریتم‌های بهینه‌سازی فرااکتشافی^۱ هستند که با الهام از پدیده‌های طبیعی برای حل مسائل بهینه‌سازی ارائه شده‌اند. از جمله محبوب‌ترین این تکنیک‌ها می‌توان به الگوریتم ژنتیک^۲ (GA) [۱]، الگوریتم بهینه‌سازی ازدحام ذرات^۳ (PSO) [۲]، الگوریتم کلونی مورچگان^۴ (ACO) [۳]، الگوریتم کلونی زنبور عسل مصنوعی^۵ (ABC) [۴]، الگوریتم کرم شب‌تاب^۶ (FA) [۵]، الگوریتم جستجوی گرانشی^۷ (GSA) [۶]، بهینه‌سازی مبتنی بر جغرافیای زیستی^۸ (BBO) [۷]، جستجوی فاخته^۹ (CS) [۸]، الگوریتم خفاش^{۱۰} (BA) [۹]، بهینه‌سازی شیرمورچه^{۱۱} (ALO) [۱۰]، بهینه‌سازی گرگ خاکستری^{۱۲} (GWO) [۱۱]، بهینه‌سازی چند جهانی^{۱۳} (MVO) [۱۲]، الگوریتم بهینه‌سازی سینوس کسینوس^{۱۴} (SCA) [۱۳]، الگوریتم بهینه‌سازی پروانه-شعله^{۱۵} (MFO) [۱۴] و الگوریتم بهینه‌سازی وال^{۱۶} (WOA) [۱۵] اشاره کرد.

فرایند جستجو در الگوریتم‌های بهینه‌سازی اکتشافی را می‌توان به فازهای اکتشاف^{۱۷} و بهره‌برداری^{۱۸} تقسیم کرد [۱۶-۱۷]. در فاز اکتشاف الگوریتم نیاز به عملگرهای تصادفی دارد تا بتواند فضای جستجو را به‌طور سراسری پوشش دهد. این کار از طریق تغییرات ناگهانی راه‌حل‌های کاندید حاصل می‌شود. در فاز بهره‌برداری، جستجوی محلی در اطراف ناحیه امیدبخش حاصل از فاز اکتشاف صورت می‌گیرد. یک الگوریتم بهینه‌سازی در صورتی می‌تواند به‌عنوان یک بهینه‌ساز سراسری در نظر گرفته شود که شامل عملگرهایی برای پوشش دادن این دو فاز باشد. تعیین مقدار سهم این دو فاز از جستجو در هر مرحله از حل مسئله یکی از نکات بسیار مهم است. عدم تعادل فاز اکتشاف و بهره‌برداری در برخی الگوریتم‌های فرااکتشافی باعث

^۱ meta-heuristic

^۲ Genetic Algorithm (GA)

^۳ Particle Swarm Optimization (PSO)

^۴ Anti Colony Optimization (ACO)

^۵ Artificial Bee Colony (ABC)

^۶ Firefly Algorithm (FA)

^۷ Gravitational Search Algorithm (GSA)

^۸ Biogeography-Based Optimization algorithm (BBO)

^۹ Cuckoo Serach (CS)

^{۱۰} Bat Algorithm (BA)

^{۱۱} Ant Lion Optimization (ALO)

^{۱۲} Grey Wolf Optimization (GWO)

^{۱۳} Multi Verse Optimization (MVO)

^{۱۴} Sine Cosine Optimization (SCO)

^{۱۵} Moth Flame Optimization (MFO)

^{۱۶} Whale Optimization Algorithm (WOA)

^{۱۷} exploration

^{۱۸} exploitation

می‌شود این الگوریتم‌ها عملکرد مناسبی به‌عنوان یک بهینه‌سازی سراسری نداشته باشند و توانایی این الگوریتم‌ها در رسیدن به بهینه سراسری کاهش می‌یابد. از سوی دیگر در برخی الگوریتم‌های فرااکتشافی که تعادل مناسبی بین فازهای اکتشاف و بهره‌برداری و جود دارد، می‌توان با بهبود متعادل این دو فاز، فرایند جستجوی الگوریتم را بهبود بخشید.

به‌طور کلی پژوهش‌های انجام شده در این حوزه را می‌توان به سه گروه اصلی تقسیم کرد: الف) ارائه الگوریتم‌های جدید (ب) بهبود روش‌های موجود و یا ج) ترکیب با الگوریتم‌های دیگر [۱۳]. الگوریتم‌های جدید در یکی از چهار گروه (۱) الگوریتم‌های تکاملی (مانند الگوریتم ژنتیک و استراتژی تکاملی)، (۲) تکنیک‌های هوش ازدحامی^۱ (مانند الگوریتم ازدحام ذرات و بهینه‌سازی کلونی مورچگان)، (۳) تکنیک‌های مبتنی بر فیزیک (مانند جستجوی گرانشی و حفره سیاه) و (۴) الگوریتم‌های مبتنی بر انسان (مانند الگوریتم قهرمانی لیگ و الگوریتم انفجار معدن) طبقه بندی می‌شوند. از این بین الگوریتم بهینه‌سازی وال، به عنوان الگوریتم پایه این مقاله، در گروه دوم قرار می‌گیرد.

در مقابل برای بهبود روش‌های موجود رهکارهای بسیاری وجود دارد. از محبوب‌ترین روش‌ها به منظور بهبود روش‌های بهینه‌سازی می‌توان به الف) بهبود برخی ساختارهای جستجوی الگوریتم‌ها، ب) استفاده از نگاشت‌های آشوبی، ج) استفاده از عملگرهای تکاملی و جستجوهای محلی اشاره کرد [۱۸-۲۱]. بهبودهایی که از دیدگاه سوم استفاده می‌کنند، به دلیل اینکه با اضافه کردن مجموعه‌ای از الگوریتم‌ها سعی در بهبود جستجو از جمله جستجوی محلی و سراسری دارند، سربار کمتری به سیستم تحمیل می‌کنند و در برخی موارد بسیار موثر هستند. از سایر تکنیک‌های از جمله الگوریتم‌های بهبود یافته با استفاده از عملگرهای تکاملی می‌توان به ترکیب الگوریتم بهینه‌سازی ازدحام ذرات با تکامل داروین [۲۲]، ترکیب الگوریتم چندجهانی با مکانیزم تولیدمثل الگوریتم ژنتیک [۲۴]، ترکیب الگوریتم تکامل تفاضلی با عملگر ادغام [۲۳]، ترکیب الگوریتم کلونی زنبور عسل مصنوعی با عملگر ادغام الگوریتم ژنتیک [۲۴-۲۵] اشاره کرد.

در این پژوهش با استفاده از عملگرهای تکاملی و یک سیستم استنتاج فازی^۲ (FIS)، فرایند جستجوی الگوریتم WOA بهبود داده می‌شود. در این روش با استفاده از نظریه تکامل داروین، عناصر جستجویی که موقعیت بهتری دارند در طول فرایند بهینه‌سازی باقی می‌مانند و عناصر جستجوی کم‌اهمیت‌تر از بین می‌روند. استفاده از عملگرهای ژنتیک باعث بهبود فاز اکتشاف و بهره‌برداری الگوریتم WOA می‌شود. تنظیم احتمال عملگرهای ژنتیک توسط یک FIS انجام می‌شود. این کار باعث تنظیم پویای احتمال عملگرهای ژنتیک در طول فرآیند بهینه‌سازی شده و تعادل مناسبی را بین فازهای اکتشاف و بهره‌برداری فراهم می‌کند. در روش پیشنهادی از دو عملگر ادغام و جهش استفاده می‌شود. استفاده از عملگر ادغام در الگوریتم WOA باعث بهبود فاز بهره‌برداری الگوریتم می‌شود. از سوی دیگر به منظور بهبود فاز اکتشاف الگوریتم از عملگر جهش استفاده می‌شود. استفاده از این دو عملگر باعث بهبود همزمان فازهای اکتشاف و بهره‌برداری الگوریتم شده و عملکرد الگوریتم را رسیدن به بهینه سراسری بهبود می‌بخشد. بهترین عامل جستجو برای ادغام یا جفت‌گیری با دیگر عوامل جستجو در هر نسل با استفاده

^۱ swarm intelligence

^۲ Fuzzy Inference System (FIS)

از یک احتمال ادغام انتخاب می‌شود. این کار باعث می‌شود عوامل جستجو تحت تأثیر بهترین موقعیت قرار گیرند و باعث بهبود فاز بهره‌برداری الگوریتم می‌شود. در مرحله بعد با استفاده از احتمال جهش، عملگر جهش روی عوامل جستجو صورت می‌گیرد. این کار باعث بهبود فاز اکتشاف الگوریتم می‌شود، زیرا با فراهم کردن شرایط تصادفی بیشتر برای الگوریتم، باعث می‌شود الگوریتم توانایی بیشتری در پوشش دادن فضای جستجو داشته باشد. تنظیم احتمال جهش و احتمال ادغام به صورت غیرخطی و با استفاده از یک FIS انجام می‌شود. FIS براساس شماره تکرار و بهترین موقعیت جاری پارامترهای احتمال جهش و احتمال ادغام را تنظیم می‌کند. در ابتدای فرآیند جستجو، الگوریتم WOA، هیچ اطلاعی در مورد راه‌حل بهینه ندارد، به همین دلیل راه‌حل‌های متنوع به منظور پوشش نقاط مختلف فضای جستجو بسیار ضروری است، بنابراین احتمال جهش زیاد می‌شود. با گذشت زمان و با نزدیک شدن به بهترین راه‌حل، جستجوی تصادفی باید کاهش یابد، این در حالی است که جستجوی محلی باید بیشتر شود، که این کار از طریق بیشتر شدن احتمال ادغام انجام می‌شود.

ادامه مقاله به صورت زیر سازماندهی شده است. مفاهیم پایه شامل الگوریتم WOA در بخش دوم و سوم ارائه شده است. در بخش (۴) روش پیشنهادی ارائه شده است. بررسی عملکرد الگوریتم روش پیشنهادی روی توابع محک به ترتیب در بخش‌های (۵) و (۶) مورد آزمایش قرار گرفته است. در انتها نیز، نتیجه گیری آورده شده است.

۲- الگوریتم بهینه سازی وال (WOA)

با الهام از رفتار شکار وال‌های کوهان‌دار الگوریتم فرااکتشافی جدیدی به نام الگوریتم بهینه‌سازی وال (WOA) ارائه شده است [۱۵]. الگوریتم WOA از سه عملگر محاصره شکار، رفتار جستجوی غذای حباب-شبکه و جستجو برای شکار وال‌های کوهان‌دار برای شبیه‌سازی استفاده می‌کند.

۲-۱- محاصره شکار

به منظور محاصره شکار باید موقعیت شکار مشخص شود، اما این موقعیت در فضای جستجو مشخص نیست، بنابراین در WOA بهترین موقعیت کاندید موجود به عنوان هدف شکار در نظر گرفته می‌شود و سایر عوامل جستجو موقعیت خود را براساس آن به‌روزرسانی می‌کنند. این رفتار توسط روابط (۱) و (۲) مشخص می‌شود.

$$\vec{D} = |\vec{C} \cdot \vec{X}^*(t) - \vec{X}(t)| \quad (1)$$

$$\vec{X}(t+1) = \vec{X}^*(t) - \vec{A} \cdot \vec{D} \quad (2)$$

که در این روابط t نشان‌دهنده تکرار فعلی، \vec{X}^* بردار موقعیت بهترین راه‌حل به دست آمده تاکنون، \vec{X} بردار موقعیت و \vec{A} و \vec{C} بردارهای ضرایب هستند که مقادیر آن‌ها با استفاده از روابط (۳) و (۴) محاسبه می‌شوند:

$$\vec{A} = 2\vec{a} \cdot \vec{r} - \vec{a} \quad (3)$$

$$\vec{C} = 2 \cdot \vec{r} \quad (4)$$

که در این روابط \vec{a} به طور خطی از ۲ به ۰ کاهش می‌یابد و \vec{r} یک بردار تصادفی در $[0, 1]$ است.

۲-۲- جستجوی غذای حباب-شبهه

وال‌های کوهان‌دار با استراتژی حباب-شبهه به شکار حمله می‌کنند. مدل‌سازی ریاضی این رفتار در WOA توسط دو رویکرد مکانیزم انقباض محاصره و به‌روزرسانی مارپیچ طراحی شده است.

مکانیزم انقباض محاصره توسط کاهش مقدار \vec{a} در رابطه (۳) حاصل می‌شود. این کاهش مقدار \vec{a} باعث کاهش تغییرات محدوده \vec{A} می‌شود.

در روش به‌روزرسانی مارپیچ، ابتدا فاصله بین موقعیت وال و موقعیت شکار محاسبه می‌شود. سپس یک رابطه مارپیچ بین موقعیت وال و شکار برای تقلید حرکت مارپیچ شکل وال‌های کوهان‌دار به صورت رابطه (۵) ساخته می‌شود:

$$\vec{X}(t+1) = \vec{D}' \cdot e^{bl} \cdot \cos(2\pi l) + \vec{X}^*(t) \quad (5)$$

که در این رابطه l یک عدد تصادفی در $[0, 1]$ ، b یک ثابت برای تعریف شکل مارپیچی لگاریتمی و \vec{D}' فاصله آمین وال از بهترین راه‌حل به دست آمده تاکنون است و به صورت $\vec{D}' = |\vec{X}^*(t) - \vec{X}(t)|$ محاسبه می‌شود.

وال‌های کوهان‌دار در اطراف شکار به صورت همزمان در داخل یک انقباض دایره و در امتداد یک مسیر مارپیچ شکل شنا می‌کنند. برای مدل‌سازی این رفتارهای همزمان، به منظور به‌روزرسانی موقعیت وال‌ها در طول فرایند بهینه‌سازی، فرض می‌شود هر یک از رفتارهای انقباض محاصره و مدل مارپیچ با یک احتمال ۵۰٪ انتخاب شوند.

$$\vec{X}(t+1) = \begin{cases} \vec{X}^*(t) - \vec{A} \cdot \vec{D}, & \text{if } p < 0.5 \\ \vec{D}' \cdot e^{bl} \cdot \cos(2\pi l) + \vec{X}^*(t), & \text{if } p \geq 0.5 \end{cases} \quad (6)$$

که در این رابطه p یک عدد تصادفی در $[0, 1]$ است.

۲-۳- جستجو برای شکار

وال‌های کوهان‌دار جستجوی تصادفی را براساس موقعیت یکدیگر انجام می‌دهند. بنابراین در WOA مقدار \vec{A} به صورت مقادری تصادفی بزرگ‌تر از ۱ یا کوچک‌تر از -۱ به منظور اجبار عامل جستجو به حرکت دور شدن از وال مرجع تعیین می‌گردد. از سوی دیگر، موقعیت یک عامل جستجو براساس یک انتخاب تصادفی عامل جستجو به جای بهترین عامل جستجو به دست آمده تاکنون به‌روزرسانی می‌شود. این مکانیزم‌ها به WOA اجازه می‌دهد که یک جستجوی سراسری را انجام دهد. مدل ریاضی به صورت روابط (۷) و (۸) است.

$$\vec{D} = |\vec{C} \cdot \overrightarrow{X_{rand}} - \vec{X}| \quad (7)$$

$$\vec{X}(t+1) = \overrightarrow{X_{rand}} - \vec{A} \cdot \vec{D} \quad (8)$$

که در این روابط $\overrightarrow{X_{rand}}$ یک بردار موقعیت تصادفی انتخاب شده از جمعیت موجود است. شبه کد WOA در شکل ۱ نشان داده شده است.

بر روی الگوریتم بهینه سازی نهنگ، بهبودهای متعددی در سالهای اخیر انجام شده است. از این جمله می توان به [۲۶] اشاره نمود که یک پارامتر انتخاب منحصر به فرد برای متعادل کردن فاز جستجوی جهانی و محلی الگوریتم معرفی کرده است. همچنین در مرحله اکتشاف، حرکت تصادفی مجاز است تا بار محاسباتی الگوریتم را کاهش دهد و وزن اینرسی در مرحله بهره برداری برای جستجوی جامع در نزدیکی بهترین راه حل معرفی شده است. در [۲۷] یک مکانیزم ادغام و سه استراتژی جستجوی موثر به نام های مهاجرت، انتخاب ترجیحی، و طعمه محاصره شده غنی شده برای بهبود الگوریتم بهینه سازی نهنگ پیشنهاد شده است. در [۲۸]، یک الگوریتم بهینه سازی نهنگ هیبریدی (NHWOA) برای افزایش سرعت هم گرایی و پوشش جستجو در حل مسائل بهینه سازی سراسری پیشنهاد شده است. در این الگوریتم، از تکنیک نیچینگ برای ارتقای تنوع جمعیت و مهار همگرایی زودرس در جستجوی بهترین راه حل سراسری استفاده شده است. نویسندگان [۲۹]، اصلاحات مختلفی در معادلات به روز رسانی موقعیت الگوریتم اولیه نهنگ ارائه کرده اند و از طرفی ساختار الگوریتم را نیز اصلاح نموده اند. همچنین در مقاله [۳۰]، از تکنیک جستجوی ممنوعه برای کاهش فضای جستجو و تسریع الگوریتم استفاده شده است. در مقاله [۳۱] از مفاهیم نظریه بازیها و نقطه تعادل نش به منظور بهبود عملکرد الگوریتم بهینه سازی وال استفاده شده است. الگوریتم بهینه سازی وال از جمله الگوریتم های پر کاربرد در حوزه بهینه سازی است. از جمله آخرین کاربردهای الگوریتم وال در بهینه سازی می توان به کاربرد آن در انتخاب ویژگی [۳۲]، بهینه سازی جریان کاری در صنعت [۳۳]، بهینه سازی پارامترهای ماشین پیشگویی بردار پشتیبان [۳۴] و بهینه سازی پارامترهای سیستم استنتاج فازی [۳۵] اشاره نمود.

۳- سیستم استنتاج فازی

در تئوری مجموعه فازی ابزاری قوی جهت مواجهه با عدم قطعیت ناشی از ابهام است. اگرچه سیستم های فازی پدیده های غیرقطعی و نامشخص را توصیف می کنند با این حال خود تئوری فازی یک تئوری دقیق است [۳۶]. منطق فازی برای اولین بار توسط لطفی زاده ارائه شد [۳۷]. منطق فازی در مقابل منطق ارسطویی قرار دارد [۳۸]. سیستم استنتاج فازی (FIS) در واقع سیستمی است که تجربیات بشر را با توابع عضویت و قوانین فازی پیاده سازی می کند و یک روش عمومی برای ترکیب دانش، فن آوری هوشمند، کنترل و تصمیم گیری است، از مهم ترین الگوریتم های استنتاج فازی می توان به الگوریتم استنتاج مددانی، تاکاگی سوگنو و سوکوماتو اشاره کرد که در میان این الگوریتم ها، الگوریتم استنتاج فازی مددانی و سوگنو بیشترین کاربردها را دارند. به طور کلی هر FIS از سه جزء اصلی فازی سازی، موتور استنتاج فازی و غیرفازی سازی تشکیل شده است. تبدیل متغیرهای صریح به متغیرهای زبانی را فازی سازی می گویند. موتور استنتاج با استفاده از الگوریتم های استنتاج، قوانین را

ارزیابی و استنتاج می‌کند و پس از تجمیع قوانین خروجی توسط واحد غیرفازی ساز به مقدار صریح یا عددی تبدیل می‌شود [۳۹].

```
Initialize the whales population  $X_i$  ( $i = 1, 2, \dots, n$ )  
Calculate the fitness of each search agent  
 $X^*$  = the best search agent  
while ( $t <$  maximum number of iterations)  
  for each search agent  
    Update  $a, A, C, l$ , and  $p$   
    if1 ( $p < 0.5$ )  
      if2 ( $|A| < 1$ )  
        Update the position of the current search agent by the Eq. (1)  
      else if2 ( $|A| \geq 1$ )  
        Select a random search agent ( $X_{rand}$ )  
        Update the position of the current search agent by the Eq. (8)  
      end if2  
    else if1 ( $p \geq 0.5$ )  
      Update the position of the current search by the Eq. (5)  
    end if1  
  end for  
  Check if any search agent goes beyond the search space and amend it  
  Calculate the fitness of each search agent  
  Update  $X^*$  if there is a better solution  
   $t = t + 1$   
end while  
return  $X^*$ 
```

شکل ۱. شبه کد WOA [۱۸]

استفاده از FIS ها روز به روز افزایش پیدا کرده است. یکی از کاربردهای FIS ها استفاده از آن‌ها در روش‌های بهینه‌سازی است. در اغلب الگوریتم‌های بهینه‌سازی پارامترهای خطی وجود دارند که کنترل میزان مشارکت فازهای اکتشاف و بهره‌برداری

الگوریتم را بر عهده دارند. استفاده از FIS به جای استفاده از پارامتر خطی گزینه‌ای مناسب در جهت بهبود فرایند جستجوی الگوریتم به حساب می‌آید.

۴- روش پیشنهادی

الگوریتم WOA مانند سایر الگوریتم‌های فرااکتشافی دارای دو فاز اکتشاف و بهره‌برداری است، که در این پژوهش با بهبود هر دو فاز اکتشاف و بهره‌برداری با استفاده از عملگرهای ژنتیک، عملکرد این الگوریتم را بهبود داده‌ایم. همچنین با استفاده از نظریه تکامل داروین، عناصر جستجویی که موقعیت بهتری دارند طول عمر بیشتری خواهند داشت و عناصر جستجوی کم‌اهمیت‌تر زودتر می‌میرند. همچنین از یک FIS به منظور تنظیم پویای میزان مشارکت فاز اکتشاف و بهره‌برداری استفاده کرده‌ایم. در ادامه به معرفی بخش‌های مختلف روش پیشنهادی خواهیم پرداخت.

۴-۱- بهبود فاز بهره‌برداری با استفاده از عملگر ادغام

الگوریتم ژنتیک گل‌میخ (Stud GA) یکی از انواع الگوریتم‌های ژنتیک است که در آن گل‌میخ (ژنوم بهینه) برای ادغام در هر تولیدمثل فراهم می‌شود [۴۰]. به عبارت دیگر، در این الگوریتم گل‌میخ برای جفت‌گیری با دیگر فرزندان جدید استفاده می‌شود. در الگوریتم Stud GA ابتدا یک جمعیت اولیه به صورت تصادفی ایجاد شده و سپس گل‌میخ برای جفت‌گیری انتخاب می‌شود. پس از مشخص شدن گل‌میخ عمل ادغام انجام می‌شود. این فرایند تا فراهم شدن معیار توقف الگوریتم این حلقه تکرار می‌شود. به منظور بهبود فاز بهره‌برداری الگوریتم WOA، از عملگر ادغام الگوریتم Stud GA استفاده شده است. این عملگر ادغام، ویژگی تکامل طبیعی را به منظور جفت‌گیری گل‌میخ با دیگر عامل‌های جستجو فراهم می‌کند این کار باعث می‌شود که تولیدمثل‌های جدید، راه‌حل‌های بهتری برای هر عامل جستجو ایجاد کند.

ایده اصلی این عملگر ادغام، توسعه گل‌میخ برای جفت‌گیری با دیگر عامل‌های جستجو است که به منظور تولید فرزندان جدید در مکانی که یک راه‌حل خیلی خوب وجود ندارد انجام می‌شود. در این روش، پس از پیدا کردن گل‌میخ در گام اول و با توجه به احتمال ادغام، عمل ادغام به منظور تولید فرزندان جدید در گام دوم انجام می‌شود. در گام سوم، کیفیت فرزند تولید شده جدید ارزیابی می‌شود و در صورتی که فرزند تولید شده جدید بهتر بود، پذیرفته می‌شود. این عملگر باعث بهبود فاز بهره‌برداری الگوریتم WOA می‌شود.

۴-۲- بهبود فاز اکتشاف با استفاده از عملگر جهش

بهبود فاز اکتشاف الگوریتم نیازمند تغییرات تصادفی بیشتر در راه‌حل‌های کاندید است، که این شرایط با استفاده از عملگرهای تصادفی حاصل می‌شود. در روش پیشنهادی عملگر جهش برای بالا بردن تنوع جامعه‌ی جواب و افزایش قدرت جستجو در الگوریتم WOA استفاده شده است. با استفاده از این عملگر و با توجه به احتمال جهش، موقعیت برخی از راه‌حل‌های کاندید به صورت تصادفی تغییر می‌کنند. این عملگر یک پوشش سراسری در کل فضای جستجو را تضمین می‌کند و باعث بهبود فاز اکتشاف الگوریتم WOA می‌شود.

۳-۴- تعادل پویا فاز اکتشاف و بهره‌برداری با استفاده از سیستم استنتاج فازی

به منظور برقرار کردن یک تعادل پویا بین میزان مشارکت فازهای اکتشاف و بهره‌برداری الگوریتم WOA، از یک FIS استفاده شده است. در این روش مقادیر احتمال ادغام (Pc)، احتمال جهش (Pm) و پارامتر خطی a توسط این FIS تعیین می‌گردد. از آنجا که مقادیر Pc، Pm در بازه [۰،۱] و مقدار a در بازه [۰،۲] تغییر می‌کنند و از طرفی هر متغیر دارای ۳ متغیر زبانی پایین، متوسط و بالا طراحی شده‌است، مرکز ثقل توابع فازی مثلثی در نقاط ۰،۲۵، ۰،۵ و ۰،۷۵ قرار گرفته است. همین کار برای متغیرهای فازی "بهترین راه‌حل" و "تکرار" نیز، البته بعد از هنجارسازی به بازه [۰،۱]، انجام شده است. طول توابع فازی مذکور نیز برابر و به میزان ۰،۵ در نظر گرفته شده است. در ابتدای فرایند بهینه‌سازی تنظیم این پارامترها به‌گونه‌ای انجام می‌شود که تأکید بر فاز اکتشاف الگوریتم صورت گیرد.

در ادامه فرایند بهینه‌سازی و به‌منظور رسیدن به بهترین راه‌حل، FIS تنظیم پارامترها را در جهت تأکید بر جستجوی محلی انجام می‌دهد. این کار باعث تعادل پویا بین جستجوی سراسری و جستجوی محلی شده و در نتیجه عملکرد الگوریتم بهبود می‌یابد. براساس این مکانیزم، قوانین فازی FIS به صورت جدول ۱ تعیین شده‌اند. قوانین جدول ۱ با توجه به سایر کارهای مشابهی که در زمینه استفاده از منطق فازی در تعیین پارامترهای الگوریتم‌های بهینه‌سازی معرفی شده اند طراحی شده اند و البته هر یک منطق خاص خود را دارند. مثلاً هر چه تعداد تکرارها (نسله‌ها) بیشتر می‌شود، همانطور که در بخش ۲-۱ و توضیح رابطه ۳ و ۴ بیان شد، a کاهش می‌یابد. یا هر چه تعداد نسله‌ها بیشتر می‌شود معمولاً برای بهبود جستجوی محلی احتمال ادغام (Pc) بیشتر و احتمال جهش (Pm) کمتر می‌شود.

جدول ۱: قوانین فازی FIS

| شماره قانون | ورودی | | خروجی | |
|-------------|---------------|-------|-----------------|-------------------|
| | بهترین راه‌حل | تکرار | احتمال جهش (Pm) | احتمال ادغام (Pc) |
| ۱ | پایین | پایین | بالا | پایین |
| ۲ | متوسط | پایین | متوسط | متوسط |
| ۳ | بالا | پایین | بالا | پایین |
| ۴ | پایین | متوسط | بالا | پایین |
| ۵ | متوسط | متوسط | متوسط | متوسط |
| ۶ | بالا | متوسط | بالا | پایین |
| ۷ | پایین | بالا | پایین | بالا |
| ۸ | متوسط | بالا | پایین | بالا |
| ۹ | بالا | بالا | متوسط | متوسط |

۵- فلوجارت الگوریتم پیشنهادی

در الگوریتم پیشنهادی پس از مقداردهی اولیه پارامترها و جمعیت، مقادیر پارامترهای a ، P_m و P_m توسط FIS تعیین می‌گردد. سپس الگوریتم استاندارد WOA اجرا می‌شود. در مرحله بعد یک عدد تصادفی ایجاد شده و در صورتی که این مقدار تصادفی کوچک‌تر یا مساوی احتمال ادغام باشد، عملگر ادغام اجرا می‌شود. در مرحله بعد عدد تصادفی دیگری ایجاد شده و در صورتی که این مقدار تصادفی کوچک‌تر یا مساوی احتمال جهش باشد، عملگر ادغام اجرا می‌شود. این فرایند تا فراهم شدن معیار پایان که رسیدن به حداکثر تعداد تکرارهای تعریف شده است تکرار می‌شود. شبه کد الگوریتم پیشنهادی در شکل ۲ نشان داده شده است.

Initialize the whales' population X_i ($i = 1, 2, \dots, n$).

Calculate the fitness of each search agent.

X^* = the best search agent.

while ($t < \text{maximum number of iterations}$)

Update P_m , P_c and a by FIS.

for each search agent

Update a , A , C , l , and p .

if1 ($p < 0.5$)

if2 ($|A| < 1$)

 Update the position of the current search agent by the Eq. (1).

else if2 ($|A| \geq 1$)

 Select a random search agent (X_{rand}).

 Update the position of the current search agent by the Eq. (8).

end if2

else if1 ($p \geq 0.5$)

 Update the position of the current search by the Eq. (5).

end if1

if3 $\text{Rand}() \leq P_m$

 Choose the best stud for mating (X_{stud}).

 Generate new search agent by crossover (X_{new}).

If4 $\text{fitness}(X_{new}) > \text{fitness}(X_{stud})$

 accept X_{new} .

else if4

 discard X_{new} .

end if4

end if3

if5 $\text{Rand}() \leq P_c$

 Choose random search _agent (X_{rand}).

$X_{rand} = X_{rand} * C$.

```

end if5

    Calculate the fitness of each search agent.

end for

    Check if any search agent goes beyond the search space and amend it.

    Calculate the fitness of each search agent.

    Update  $X^*$  if there is a better solution.

     $t=t+1$ .

end while

    return  $X^*$ .

```

شکل ۲. شبه کد الگوریتم پیشنهادی

۶- نتایج و بحث

با استفاده از بیست و سه تابع محک که شامل توابع محک تک مد، چند مد و چند مد با ابعاد ثابت است، روش پیشنهادی مورد ارزیابی قرار گرفته است. مشخصات این توابع در جدول‌های ۲، ۳ و ۴ آورده شده است. در این جدول M ، D ، R و f_{opt} به ترتیب نشان‌دهنده ابعاد تابع، ماهیت تابع، محدوده فضای جستجوی تابع و مقدار بهینه تابع هستند. همچنین اندازه جمعیت و حداکثر تولیدمثل به ترتیب ۵۰ و ۱۰۰ در نظر گرفته شده است.

جدول ۲: توابع محک تک مد (Unimodal benchmark functions)

| Name | Function | D | R | f_{opt} |
|---------------|--|----|-----------------|-----------|
| Sphere | $f_1(x) = \sum_{i=1}^n x_i^2$ | ۱۰ | [-۱۰۰، ۱۰۰] | ۰ |
| Schwefel 2.22 | $f_2(x) = \sum_{i=1}^n x_i + \prod_{i=1}^n x_i $ | ۱۰ | [-۱۰، ۱۰] | ۰ |
| Schwefel 1.2 | $f_3(x) = \sum_{i=1}^n \left(\sum_{j=1}^i x_j \right)^2$ | ۱۰ | [-۱۰۰، ۱۰۰] | ۰ |
| Schwefel 2.21 | $f_4(x) = \max_i \{ x_i , 1 \leq i \leq n\}$ | ۱۰ | [-۱۰۰، ۱۰۰] | ۰ |
| Rosenbrock | $f_5(x) = \sum_{i=1}^{n-1} [100(x_{i+1} - x_i^2)^2 + (x_i - 1)^2]$ | ۱۰ | [-۳۰، ۳۰] | ۰ |
| Step | $f_6(x) = \sum_{i=1}^n ([x_i + 0.5])^2$ | ۱۰ | [-۱۰۰، ۱۰۰] | ۰ |
| Quartic | $f_7(x) = \sum_{i=1}^n ix_i^4 + \text{random}[0,1]$ | ۱۰ | [-۱، ۲۸، ۱، ۲۸] | ۰ |

جدول ۳: توابع محک چند مد (Multimodal benchmark functions)

| Name | Function | D | R | f _{opt} |
|-----------------------|---|----|----------------|------------------|
| Schwefel 2.26 | $f_8(x) = \sum_{i=1}^n -x_i \sin(\sqrt{ x_i })$ | ۱۰ | [-۵۰۰, ۵۰۰] | -۴۱۸,۹۸۲۸×۵ |
| Rastrigin | $f_9(x) = \sum_{i=1}^n [x_i^2 - 10 \cos(2\pi x_i) + 10]$ | ۱۰ | [-۵, ۱۲.۵, ۱۲] | ۰ |
| Ackley | $f_{10}(x) = -20 \exp\left(-0.2 \sqrt{\frac{1}{n} \sum_{i=1}^n x_i^2}\right) - \exp\left(\frac{1}{n} \sum_{i=1}^n \cos(2\pi x_i)\right) + 20 + e$ | ۱۰ | [-۳۲, ۳۲] | ۰ |
| Griewank | $f_{11}(x) = \frac{1}{4000} \sum_{i=1}^n x_i^2 - \prod_{i=1}^n \cos\left(\frac{x_i}{\sqrt{i}}\right) + 1$ $f_{12}(x) = \frac{\pi}{n} \left\{ 10 \sin(\pi y_1) + \sum_{i=1}^{n-1} (y_i - 1)^2 [1 + \sin^2(\pi y_{i+1})] + (y_n - 1)^2 \right\} + \sum_{i=1}^n u(x_i, 10, 100, 4)$ | ۱۰ | [-۶۰۰, ۶۰۰] | ۰ |
| Generalized Penalized | $y_i = 1 + \frac{x_i + 1}{4}$ $u(x_i, a, k, m) = \begin{cases} k(x_i - a)^m & x_i > a \\ 0 & -a < x_i < a \\ k(-x_i - a)^m & x_i < -a \end{cases}$ | ۱۰ | [-۵۰, ۵۰] | ۰ |
| Penalty | $f_{13}(x) = 0.1 \left\{ \sin^2(3\pi x_1) + \sum_{i=1}^n (x_i - 1)^2 [1 + \sin^2(3\pi x_i + 1)] + (x_i - 1)^2 [1 + \sin^2(2\pi x_n)] \right\} + \sum_{i=1}^n u(x_i, 5, 100, 4)$ | ۱۰ | [-۵۰, ۵۰] | ۰ |

جدول ۴: توابع محک چند مد با ابعاد ثابت (Fixed-dimension multimodal benchmark functions)

| Name | Function | D | R | f _{opt} |
|--------------------------------|--|---|-----------|------------------|
| De Jong (shekel's Foxholes) | $f_{14}(x) = \left(\frac{1}{500} + \sum_{j=1}^{25} \frac{1}{\sum_{i=1}^2 (x_i - a_{ij})^6} \right)^{-1}$ | ۲ | [-۶۵, ۶۵] | ۱ |
| Kowalik | $f_{15}(x) = \sum_{i=1}^{11} \left[a_i - \frac{x_i(b_i^2 + b_i x_2)}{b_i^2 + b_i x_3 + x_4} \right]^2$ | ۴ | [-۵, ۵] | ۰,۰۰۰۳۰ |
| Camel Back -6 Hump | $f_{16}(x) = 4x_1^2 - 2.1x_1^4 + \frac{1}{3}x_1^6 + x_1x_2 - 4x_2^2 + 4x_2^4$ | ۲ | [-۵, ۵] | -۱,۰۳۱۶ |
| Branin | $f_{17}(x) = \left(x_2 - \frac{5.1}{4\pi^2} x_1^2 + \frac{5}{\pi} x_1 - 6 \right)^2 + 10 \left(1 - \frac{1}{8\pi} \right) \cos x_1 + 10$ | ۲ | [-۵, ۵] | ۰,۳۹۸ |

| | | | | |
|-----------------------|--|---|---------|----------|
| Goldstein and Price | $f_{18}(x) = [1 + (x_1 + x_2 + 1)^2(19 - 14x_1 + 3x_1^2 - 14x_2 + 6x_1x_2 + 3x_2^2)] \times [30 + (2x_1 - 3x_2)^2] \times (18 - 32x_1 + 12x_1^2 + 48x_2 - 36x_1x_2 + 27x_2^2)$ | ۲ | [-۲, ۲] | ۳ |
| Hartman 3-Dimentional | $f_{19}(x) = -\sum_{i=1}^4 c_i \exp\left(-\sum_{j=1}^3 a_{ij}(x_j - p_{ij})^2\right)$ | ۳ | [۱, ۳] | -۳,۸۶ |
| Hartman 6-Dimentional | $f_{20}(x) = -\sum_{i=1}^4 c_i \exp\left(-\sum_{j=1}^6 a_{ij}(x_j - p_{ij})^2\right)$ | ۶ | [۰, ۱] | -۳,۳۲ |
| Shekel 1 | $f_{21}(x) = -\sum_{i=1}^5 [(X - a_i)(X - a_i)^T + c_i]^{-1}$ | ۴ | [۰, ۱۰] | -۱۰,۱۵۳۲ |
| Shekel 2 | $f_{22}(x) = -\sum_{i=1}^7 [(X - a_i)(X - a_i)^T + c_i]^{-1}$ | ۴ | [۰, ۱۰] | -۱۰,۴۰۲۸ |
| Shekel 3 | $f_{23}(x) = -\sum_{i=1}^{10} [(X - a_i)(X - a_i)^T + c_i]^{-1}$ | ۴ | [۰, ۱۰] | -۱۰,۵۳۶۳ |

ابتدا به منظور اعتبارسنجی روش پیشنهادی، الگوریتم WOA استاندارد را با انواع ترکیب‌های تکاملی روش WOA مقایسه کرده‌ایم. برای این منظور الگوریتم استاندارد WOA را با الگوریتم WOA داروینی (DWOA)، الگوریتم WOA داروینی و سیستم استنتاج فازی (DFWOA)، الگوریتم WOA داروینی و FIS و عملگر ادغام (DFCWOA) و الگوریتم WOA داروینی و FIS و عملگر ادغام و عملگر جهش^۱ (DFCMWOA) که همان روش پیشنهادی است مورد مقایسه قرار دادیم. جدول ۵ میانگین و انحراف معیار مقادیر حاصل از الگوریتمها با ۵۰ بار اجرا را نشان می‌دهند.

جدول ۵: مقایسه میانگین نرمال شده خروجی الگوریتم پیشنهادی DFCMWOA با نسخه‌های دیگری از WOA

(مقادیر داخل پرانتز انحراف معیار است)

| تابع | WOA | DWOA | DFWOA | DFCWOA | DFCMWOA |
|------|---------------------|---------------------|---------------------|---------------------|-------------------|
| F01 | ۱,۳۲۸,۰۲۹ (±۰,۰۵۲۴) | ۱۰۰,۰۰۰۰۰ (±۰) | ۱,۵۸۵,۳۳۶ (±۰,۵۱۱) | ۱,۵۹۲,۰۷ (±۰,۳۲۴۵) | ۱,۰۰۰۰۰ (±۰) |
| F02 | ۱۶,۱۵۹۶۳ (±۰,۲۶۶۵) | ۱۰۰,۰۰۰۰۰ (±۰) | ۸,۱۷۵,۵۱۴ (±۰,۱۳۲۱) | ۴,۳۳۶,۶۷۴ (±۰,۱۵۴۸) | ۱,۰۰۰۰۰ (±۰) |
| F03 | ۱۰۰,۰۰۰۰۰ (±۰) | ۲۰,۹۸۶۶۷ (±۱,۰۵۴۸) | ۱۶,۴۸۰,۵ (±۰,۹۵۱۲) | ۳۸,۶۳۷۹۸ (±۱,۲۱۷۸) | ۱,۰۰۰۰۰ (±۰) |
| F04 | ۱۰۰,۰۰۰۰۰ (±۰) | ۳۱,۷۹۳۳۶ (±۰,۵۵۸۹) | ۳۴,۹۳۲۸۸ (±۱,۴۶۹) | ۶۳,۰۱۴۵۱۰ (±۲,۵۱۵) | ۱,۰۰۰۰۰ (±۰) |
| F05 | ۹,۷۲۷,۵۹۷ (±۰,۲۵۸) | ۱۰۰,۰۰۰۰۰ (±۰) | ۱,۰۰۹,۴۰۷ (±۰,۰۵۱۴) | ۸۵,۹۱۲,۶۹ (±۴,۳۳۲) | ۱,۰۰۰۰۰ (±۰) |
| F06 | ۱,۰۰۰۰۰۰ (±۰) | ۸۲,۸۵۲,۰۴ (±۲,۰۴۴) | ۴۴,۲۳۶,۶۵ (±۰,۲۸۸۴) | ۱۰۰,۰۰۰۰۰ (±۰) | ۱۵,۹۹۹,۰۵ (±۳,۱۲) |
| F07 | ۱۰۰,۰۰۰۰۰ (±۰) | ۴۳,۳۴۵,۷۶ (±۱,۰۹۴۴) | ۵۸,۱۷۱,۱۲ (±۲,۰۸۴۳) | ۷۶,۹۳۰,۸۱۱ (±۲,۱۵۸) | ۱,۰۰۰۰۰ (±۰) |

^۱ Darwinian Fuzzy Crossover Mutation WOA

| | | | | | |
|-----|--------------------|--------------------|--------------------|--------------------|--------------------|
| F08 | ۷۹,۳۶۵۸۶۷ (±۲,۹۴۲) | ۵۰,۸۹۳۸۹۴ (±۳,۱۵۵) | ۳۶,۴۷۹۹۴ (±۰,۹۸۴) | ۱۰۰,۰۰۰۰ (±۰) | ۱,۰۰۰۰۰۰ (±۰) |
| F09 | ۱۰۰,۰۰۰۰ (±۰) | ۵۸,۴۲۳۴۱۷ (±۱,۰۹۷) | ۶۳,۵۰۰۸۷۷ (±۱,۵۸۱) | ۷۴,۹۲۷۶۵۴ (±۶,۳۲۱) | ۱,۰۰۰۰۰۰ (±۰) |
| F10 | ۱,۰۰۰۰۲۳ (±۰) | ۱,۰۰۰۰۸۳ (±۰) | ۱,۰۰۰۰۰۷ (±۰) | ۱۰۰,۰۰۰۰ (±۰) | ۱,۰۰۰۰۰۰ (±۰) |
| F11 | ۸۴,۶۱۲۴۷ (±۲,۰۸۴۲) | ۷۴,۸۵۱۳۷ (±۳,۰۵۰۸) | ۸۲,۵۱۴۱۰۴ (±۲,۵۱۵) | ۱۰۰,۰۰۰۰ (±۰) | ۱,۰۰۰۰۰۰ (±۰) |
| F12 | ۸,۳۸۲۲۶۶ (±۰,۴۹۲) | ۱۶,۳۰۹۲۸۴ (±۱,۲۰۱) | ۱۲,۰۱۶۴۶۰ (±۱,۰۰۵) | ۱۰۰,۰۰۰۰ (±۰) | ۱,۰۰۰۰۰۰ (±۰) |
| F13 | ۱,۱۳۱۸۷۸ (±۰,۲۵۴۴) | ۱,۳۹۰۵۱۷ (±۰,۸۸۴) | ۲۳,۷۵۴۳۵۹ (±۱,۱۵) | ۱۰۰,۰۰۰۰ (±۰) | ۱,۰۰۰۰۰۰ (±۰) |
| F14 | ۱۰۰,۰۰۰۰ (±۰) | ۳۳,۹۱۹۵۹۱ (±۱,۰۹۳) | ۱۷,۳۵۲۵۱ (±۲,۰۴۳۵) | ۱,۰۰۰۰۰۰ (±۰) | ۸۲,۸۸۰۴۷۰ (±۲,۸۱۲) |
| F15 | ۱۰۰,۰۰۰۰ (±۰) | ۷,۶۰۲۷۷۶ (±۰,۴۳۱۲) | ۴,۱۲۶۸۵۸ (±۰,۵۵۸) | ۱,۰۰۰۰۰۰ (±۰) | ۱,۴۴۶۳۱۰ (±۰,۲۱۱) |
| F16 | ۸۷,۵۶۳۱۱۸ (±۳,۶۷۳) | ۱,۰۰۰۱۷۹ (±۰,۰۱۲) | ۱,۰۰۰۰۰۰ (±۰) | ۱۰۰,۰۰۰۰ (±۰) | ۱۳,۰۹۱۳۱۱ (±۰,۰۹۵) |
| F17 | ۱۳,۰۲۴۸۷۱ (±۰,۹۶۳) | ۱۳,۳۰۳۳۸ (±۱,۰۸۰۷) | ۴۰,۲۹۱۴۲۴ (±۲,۴۷۸) | ۱۰۰,۰۰۰۰ (±۰) | ۱,۰۰۰۰۰۰ (±۰) |
| F18 | ۶۱,۴۶۳۱۳ (±۲,۰۱۷۸) | ۱,۰۰۰۰۰۰ (±۰) | ۱۰۰,۰۰۰۰ (±۰) | ۵۶,۷۷۷۰۱۶ (±۲,۰۹۹) | ۵۶,۸۳۴۴۰۳ (±۱,۹۴۲) |
| F19 | ۱۰۰,۰۰۰۰ (±۰) | ۱,۰۰۰۰۳ (±۰) | ۱,۰۰۰۰۰۰ (±۰) | ۱,۲۲۷۷ (±۰,۰۰۵) | ۱۲,۹۱۵۶ (±۰,۰۴۴۴) |
| F20 | ۱۰۰,۰۰۰۰ (±۰) | ۱,۰۰۰۰۰۰ (±۰) | ۳۶,۹۳۱۶ (±۲,۳۶۱) | ۱,۷۱۲۷ (±۰,۰۵۷۶) | ۱۷,۳۲۹۶ (±۰,۲۱۱) |
| F21 | ۱۰۰,۰۰۰۰ (±۰) | ۷۷,۹۰۸۲۹ (±۳,۸۴۸) | ۸۹,۶۹۰۶ (±۲,۰۸۴) | ۴۷,۸۲۶۹ (±۱,۰۸۸) | ۱,۰۰۰۰۰۰ (±۰) |
| F22 | ۱۰۰,۰۰۰۰ (±۰) | ۵۵,۲۸۲۳ (±۱,۰۹۹) | ۷۷,۱۰۱۹ (±۲,۰۱۶۵) | ۵۲,۲۳۰۳۴ (±۱,۸۸۴) | ۱,۰۰۰۰۰۰ (±۰) |
| F23 | ۱۰۰,۰۰۰۰ (±۰) | ۳۵,۷۲۲۴ (±۲,۳۷۳) | ۵۷,۰۰۶۳۸ (±۳,۲۴۹) | ۵۵,۲۲۴۷ (±۲,۰۱۰۲) | ۱,۰۰۰۰۰۰ (±۰) |

جدول ۶ مقایسه میانگین نرمال شده خروجی الگوریتم پیشنهادی DFCMWOA با الگوریتم های بهینه سازی دیگر

(مقادیر داخل پرانتز انحراف معیار است)

| Function | ALO | GWO | MFO | MVO | PSO | SCA | WOA | DFCMWOA |
|----------|----------------|--------------|--------------|--------------|----------------|--------------|-------------|-------------|
| F01 | ۱,۳۹۵۰(±۰,۰۰۴) | ۱,۰۰۰۰ (±۰) | ۱۰۰,۰۰۰(±۰) | ۴,۷۱۱(±۰,۴۶) | ۱,۰۰۲(±۰,۱۲) | ۲۴,۳۲(±۲,۵۴) | ۱,۰۰۰۰ (±۰) | ۱,۰۰۰۰۰(±۰) |
| F02 | ۱۰۰,۰۰ (±۰) | ۱,۰۰۰۰۰(±۰) | ۵,۷۰۴(±۰,۴۲) | ۲,۷۸۰(±۰,۱۲) | ۱,۱۵۳۳(±۰,۵۱۴) | ۱,۵۲۵(±۰,۰۹) | ۱,۰۰۰۰(±۰) | ۱,۰۰۰۰۰(±۰) |
| F03 | ۱۸,۷۰۶(±۰,۷۵) | ۱,۰۰۰۰ (±۰) | ۳۰,۱۵۳(±۲,۳) | ۱,۰۷۸(±۰,۰۸) | ۱,۰۱۴۵(±۰,۰۶۸) | ۶,۱۶۳(±۰,۲۵) | ۱۰۰,۰۰ (±۰) | ۱,۰۰۰۰ (±۰) |
| F04 | ۲۷,۰۴۵(±۱,۰۳) | ۱,۰۰۲(±۰,۰۳) | ۳۷,۲۴۹(±۲,۳) | ۳,۰۷۶(±۰,۶۱) | ۱,۳۷۹۲(±۰,۰۹۹) | ۱۷,۸۳(±۰,۶۴) | ۱۰۰,۰۰ (±۰) | ۱,۰۰۰۰ (±۰) |

| | | | | | | | | |
|-----|----------------------|----------------|----------------|----------------|----------------------|----------------|----------------|---------------|
| F05 | 100,000(±0) | 1,000,000 (±0) | 72,1368(±3,21) | 27,9529(±2,59) | 1,7337(±0,48) | 17,0178(±3,84) | 3,5162(±0,32) | 1,103(±0,05) |
| F06 | 5,73809(±0,26) | 1,35019(±0,07) | 100,000(±0) | 5,07968(±0,36) | 1,00000 (±0) | 33,7042(±1,05) | 2,2097(±0,43) | 2,4123(±0,3) |
| F07 | 100,000(±0) | 4,95826(±0,23) | 56,9592(±2,23) | 14,555(±1,08) | 51,1928(±2,15) | 24,22389(±1,4) | 20,0058(±1,09) | 1,0000 (±0) |
| F08 | 75,3921(±4,94) | 64,9857(±2,6) | 28,1199(±1,03) | 52,7664(±2,84) | 100,000(±0) | 99,1115(±6,84) | 36,5908(±3,26) | 1,0000 (±0) |
| F09 | 91,298357(±6,34) | 2,0396(±2,25) | 100,000(±0) | 97,9222(±5,08) | 64,7241(±1,23) | 57,8163(±3,44) | 26,7981(±2,08) | 1,0000 (±0) |
| F10 | 100,000(±0) | 1,00000 (±0) | 55,1883(±4,23) | 21,8951(±1,26) | 1,385227(±0,09) | 39,4053(±2,67) | 1,00000 (±0) | 1,00000 (±0) |
| F11 | 13,58149(±1,02) | 4,69667(±0,98) | 55,6690(±5,04) | 39,2079(±2,12) | 100,000(±0) | 39,4985(±1,96) | 9,3847(±1,09) | 1,0000 (±0) |
| F12 | 100,000(±0) | 1,22522(±0,02) | 15,3212(±1,94) | 8,9481(±1,46) | 1,00000 (±0) | 12,0264(±1,02) | 4,35584(±0,09) | 1,381 (0,07) |
| F13 | 77,100308(±6,12) | 1,78906(±0,32) | 100,000(±0) | 2,905287(±0,3) | 1,00000 (±0) | 57,4058(±4,92) | 10,5483(±1,03) | 8,5812(±1,3) |
| F14 | 100,000(±0) | 64,3693(±4,18) | 1,00000 (±0) | 2,85501(±0,56) | 28,205012(±2,13) | 16,70105(±2,1) | 57,5025(±6,11) | 16,64169(±2) |
| F15 | 100,000(±0) | 31,0166(±1,32) | 9,39519(±1,62) | 82,1719(±6,54) | 6,880921(±0,61) | 11,4733(±1,95) | 19,3544(±1,64) | 1,00000 (±0) |
| F16 | 1,00000 (±0) | 1,21049(±0,48) | 1,00000 (±0) | 4,81029(±0,46) | 1,00000 (±0) | 100,000(±0) | 1,06702(±0,09) | 1,004 (±0,02) |
| F17 | 1,00000 (±0) | 28,4434(±0,23) | 1,00000 (±0) | 1,15567(±0,07) | 1,00000 (±0) | 100,000(±0) | 5,80396(±1,07) | 1,0816 (±0,1) |
| F18 | 1,00000 (±0) | 1,04556(±0,02) | 1,00000 (±0) | 1,00494(±0,01) | 1,00000 (±0) | 1,10305(±0,1) | 100,000(±0) | 50,441 (±2,7) |
| F19 | 1,499286(±0,05) | 7,27686(±0,43) | 1,00000 (±0) | 1,0571(±0,16) | 1,00000 (±0) | 43,9637(±2,91) | 100,000(±0) | 43,985(±1,0) |
| F20 | 8,521705(±1,02) | 15,7610(±1,64) | 13,39057(±1,5) | 8,17596(±0,19) | 1,00000 (±0) | 100,000(±0) | 24,404(±3,36) | 5,8964(±1,1) |
| F21 | 64,578894(±4,92) | 21,1532(±1,61) | 31,1883(±1,73) | 52,5003(±4,65) | 55,742834(±4,9) | 100,000(±0) | 36,6472(±2,93) | 1,00000 (±0) |
| F22 | 55,160417(±4,96) | 1,00000 (±0) | 24,03834(±3,1) | 42,2649(±3,19) | 26,10774(±3,2) | 100,000(±0) | 48,3419(±2,08) | 2,798 (±1,4) |
| F23 | 68,0533(±5,36) | 1,00000 (±0) | 16,1780(±1,43) | 42,177(±2,09) | 35,03303(±2,86) | 100,000(±0) | 60,035(±5,22) | 7,223(±0,26) |

در این جدول‌ها F01...F23 نشان‌دهنده توابع محک جدول‌های ۲، ۳ و ۴ هستند. همچنین بهترین مقادیر به دست آمده برجسته شده‌اند. مقایسه نتایج نشان می‌دهد الگوریتم پیشنهادی روی ۱۱ تابع محک از ۲۳ تابع محک عملکرد بهتری نسبت سایر الگوریتم‌های مورد بررسی داشته است. این بررسی نشان می‌دهد روش پیشنهادی بهترین روش ترکیبی در بین روش‌های ترکیبی مورد بررسی بوده است. زیرا بهبود هر دو فاز اکتشاف و بهره‌برداری الگوریتم توسط عملگرهای جهش و ادغام باعث افزایش قدرت جستجوی الگوریتم می‌شود. همچنین تعادل بهتر با استفاده از کنترل پویای میزان مشارکت این دو فاز باعث تعادل بهتر این دو فاز الگوریتم WOA شده است.

عملکرد روش پیشنهادی روی بیست و سه تابع محک جدول‌های ۲، ۳ و ۴ با هفت الگوریتم بهینه‌سازی مورد مقایسه قرار گرفته شده است. این الگوریتم‌ها شامل الگوریتم WOA استاندارد، الگوریتم PSO [۲] و پنج الگوریتم از جدیدترین الگوریتم‌های بهینه‌سازی شامل: ALO [۱۰]، GWO [۱۱]، MFO [۱۴]، MVO [۱۲]، SCA [۱۳] است. جدول ۶ میانگین و انحراف معیار نتایج حاصل از ۵۰ بار اجرای الگوریتم‌ها را نشان می‌دهند. همچنین بهترین مقادیر به دست آمده برجسته شده‌اند. مقایسه نتایج نشان می‌دهند روش پیشنهادی در رسیدن به راه‌حل‌های بهینه موفق‌تر بوده است به طوری که به ترتیب روی نه تابع از بیست و سه تابع محک مورد بررسی توانسته است به بهترین مقادیر بهینه دست یابد.

به منظور بررسی سرعت همگرایی، فرایند بهینه‌سازی برای بیست و سه تابع محک با استفاده از الگوریتم پیشنهادی و الگوریتم‌های بهینه‌سازی مورد بررسی در شکل‌های ۳-الف تا ۳-ق نشان داده شده است.

فرایند بهینه‌سازی برای تابع (F01) Sphere در شکل ۳-الف نشان داده شده است. این شکل نشان می‌دهد روش پیشنهادی برای این تابع نه تنها به جواب بهینه بهتری دست یافته است بلکه سرعت همگرایی بیشتری نسبت به سایر الگوریتم‌های مورد بررسی دارد. الگوریتم WOA دومین الگوریتم بهتر از نظر دقت و سرعت همگرایی بوده است.

نتایج آزمایش‌ها برای (F02) Schwefel 2.22 در شکل ۳-ب نشان داده شده است. برای این تابع با وجود اینکه همه الگوریتم‌های مورد بررسی سرعت همگرایی مشابهی دارند اما این الگوریتم DFCEMWOA است که توانسته است به مقادیر بهینه بهتری دست یابد. برای این تابع الگوریتم WOA دومین الگوریتم بهتر در رسیدن به بهترین راه‌حل بهینه بوده است.

شکل ۳-پ و شکل ۳-ت به ترتیب فرایند بهینه‌سازی را برای تابع (F03) Schwefel 1.2 و تابع (F04) Schwefel 2.21 نشان می‌دهند. شکل ۳-پ و شکل ۳-ت نشان می‌دهند الگوریتم DFCEMWOA نه تنها نسبت به الگوریتم‌های دیگر به راه‌حل بهینه بهتری دست یافته است بلکه سرعت همگرایی بالاتری نسبت به دیگر الگوریتم‌های مورد بررسی داشته است.

مقادیر بهینه‌سازی به دست آمده برای سه تابع (F05) Rosenbrock، (F06) Step و (F07) Quartic در شکل‌های ۳-ج، ۳-چ و ۳-ح نشان داده شده است. برای این سه تابع نیز الگوریتم پیشنهادی دارای سرعت همگرایی بالاتری نسبت به الگوریتم‌های مورد بررسی است.

برای تابع (F05) Rosenbrock، الگوریتم WOA الگوریتم برتر در رسیدن به راه‌حل بهینه بهتر بوده است. برای تابع Step (F06)، الگوریتم DWOA بهترین عملکرد را در مقایسه با الگوریتم‌های دیگر در رسیدن به جواب بهینه بهتر داشته است. برای دو تابع (F05) Rosenbrock و (F06) Step روش پیشنهادی بدترین الگوریتم نبوده است و به ترتیب دومین و سومین الگوریتم بهتر در رسیدن به راه‌حل بهینه بهتر بوده است. الگوریتم DFCMWOA برای تابع (F07) Quartic بهترین عملکرد را در مقایسه با دیگر الگوریتم‌های مورد بررسی داشته است.

فرایند بهینه‌سازی برای چهار تابع 2.26 Schwefel (F08)، Rastrigin (F09)، Ackley (F10) و Griewank (F11) در شکل‌های ۳-ح تا ۳-ذ نشان داده شده است. شکل‌های ۳-ح تا ۳-ذ نشان می‌دهند روش پیشنهادی نه تنها سرعت همگرایی بالاتری نسبت به الگوریتم‌های دیگر مورد بررسی دارد بلکه توانسته به مقادیر بهینه بهتری نیز دست یابد.

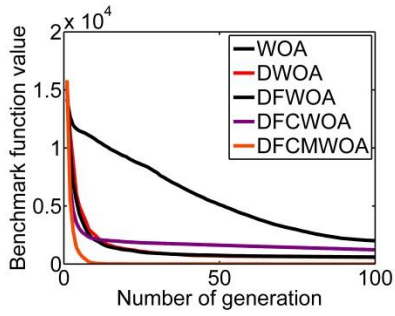
شکل‌های ۳-ر تا ۳-ض فرایند بهینه‌سازی برای شش تابع (F12) Generalized Penalized، (F13) Penalty، De Jong (F14) (shek-el's Foxholes)، (F15) Kowalik، (F16) Camel Back -6 Hump و (F17) Branin را نشان می‌دهد. سرعت همگرایی الگوریتم‌های مورد بررسی برای این توابع تقریباً مشابه هم بوده است.

برای تابع (F15) Kowalik، الگوریتم DFCMWOA الگوریتم برتر در رسیدن به راه‌حل بهینه بوده است این در حالی است که برای سایر توابع روش پیشنهادی بدترین الگوریتم نبوده است.

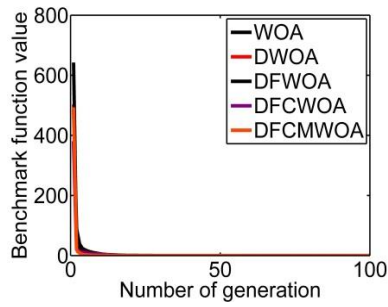
مقادیر بهینه به دست آمده برای توابع (F18) Goldstein and Price، (F19) Hartman 3-Dimensional و (F20) Dimentional در شکل‌های ۳-ط تا ۳-ع نشان داده شده است. برای این توابع سرعت همگرایی تقریباً مشابه هم هستند. برای این توابع الگوریتم‌های WOA و DWOA عملکرد بهتری نسبت به دیگر الگوریتم‌های مورد بررسی داشته است.

فرایند بهینه‌سازی برای سه تابع (F21) Shekel 1، (F22) Shekel 2 و (F23) Shekel 2 در شکل‌های ۳-غ تا ۳-ق نشان داده شده است. شکل‌های ۳-غ تا ۳-ق نشان می‌دهند روش پیشنهادی سرعت همگرایی بالاتری نسبت به الگوریتم‌های دیگر مورد بررسی دارد.

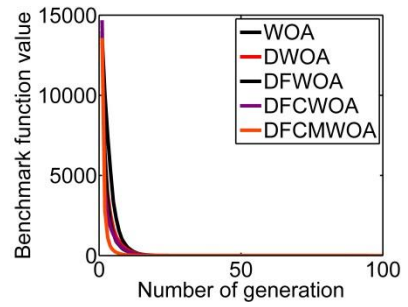
با در نظر گرفتن جدول‌های ۵ و ۶ و شکل ۳ می‌توان نتیجه گرفت که روش پیشنهادی روی اکثر توابع محک نه تنها توانسته است به جواب بهتری دست یابد، بلکه سرعت همگرایی بالاتری نیز دارد.



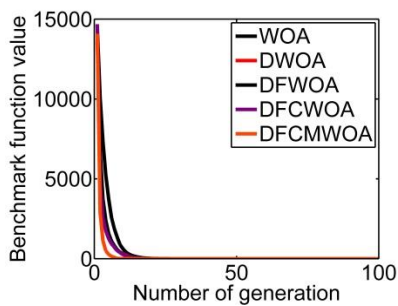
ب) عملکرد روی تابع F03



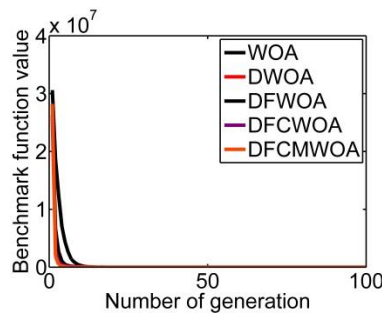
ب) عملکرد روی تابع F02



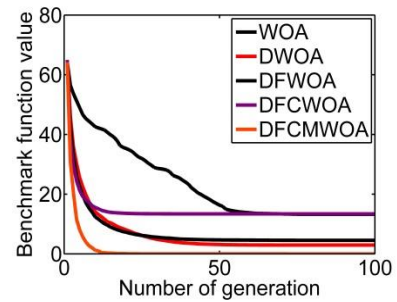
الف) عملکرد روی تابع F01



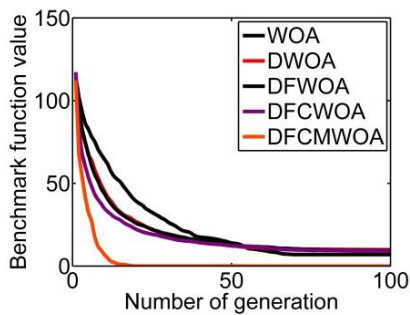
چ) عملکرد روی تابع F06



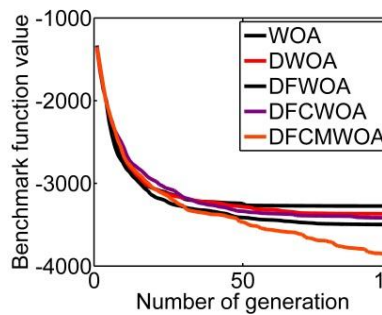
ج) عملکرد روی تابع F05



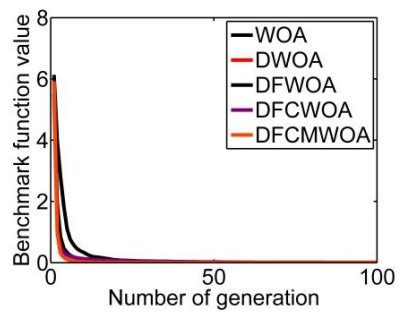
ت) عملکرد روی تابع F04



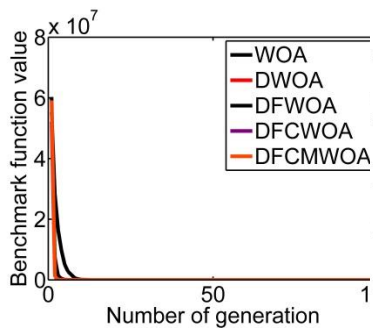
د) عملکرد روی تابع F09



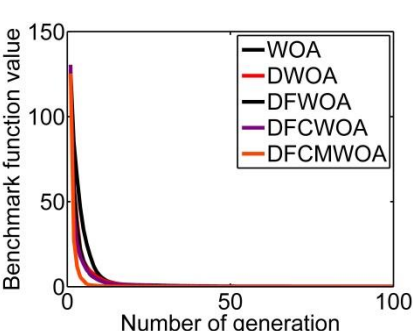
خ) عملکرد روی تابع F08



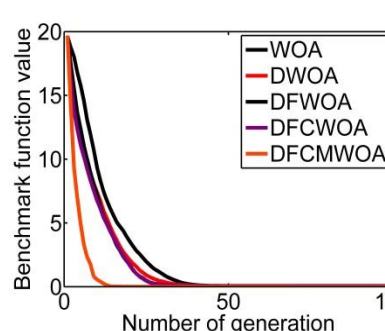
ح) عملکرد روی تابع F07



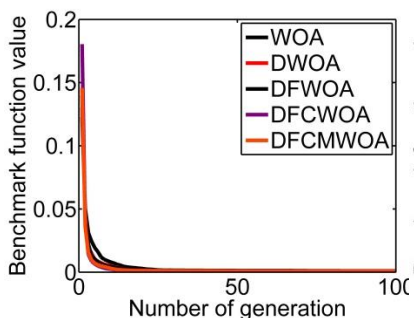
ز) عملکرد روی تابع F12



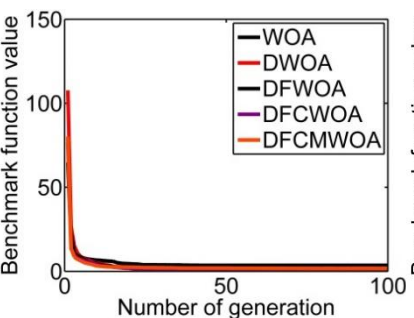
ر) عملکرد روی تابع F11



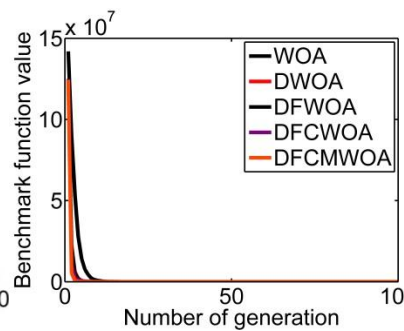
ذ) عملکرد روی تابع F10



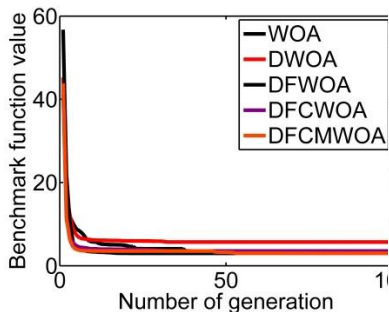
ش) عملکرد روی تابع F15



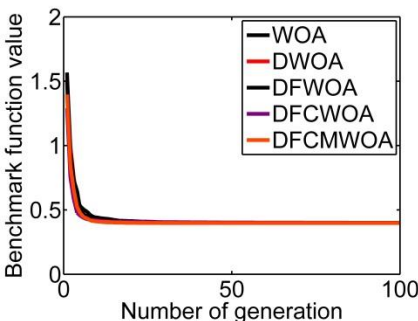
س) عملکرد روی تابع F14



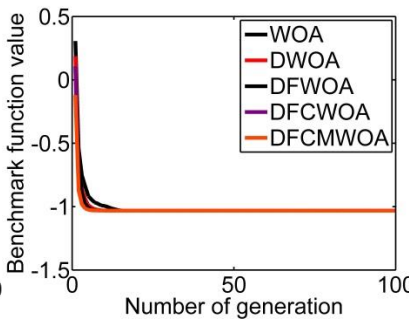
ژ) عملکرد روی تابع F13



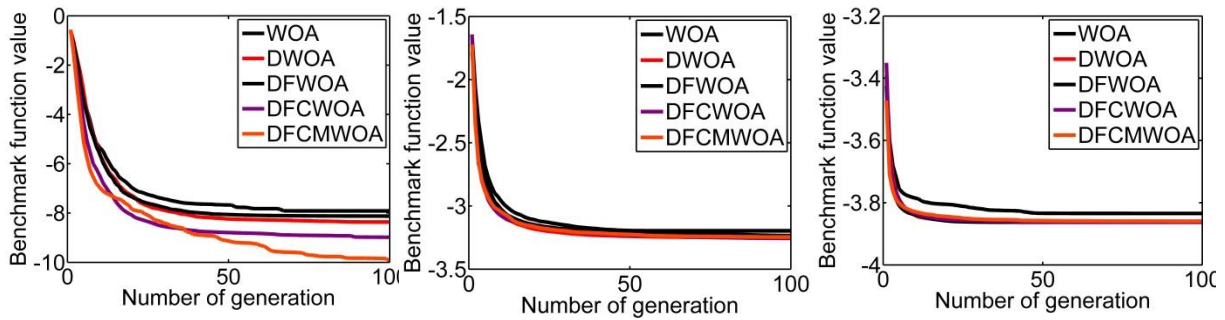
ط) عملکرد روی تابع F18



ض) عملکرد روی تابع F17



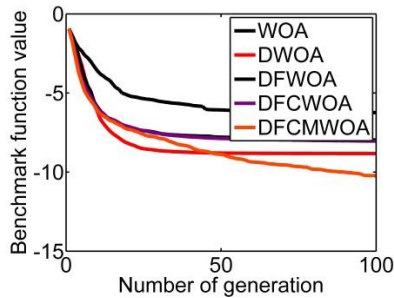
ص) عملکرد روی تابع F16



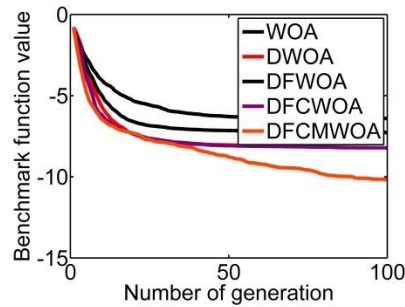
ف21 عملکرد روی تابع (غ)

ف20 عملکرد روی تابع (ع)

ف19 عملکرد روی تابع (ظ)



ف23 عملکرد روی تابع (ق)



ف22 عملکرد روی تابع (ف)

شکل ۳: مقایسه عملکرد روش پیشنهادی در مقابل سایر روشها بر روی توابع F01-F23 به ترتیب از شکل (الف) - (ق)

جدول ۷ متوسط زمان اجرای الگوریتم پیشنهادی در مقایسه با سایر روشها در بهینه‌سازی توابع محک را نشان می‌دهد. این جدول نشان می‌دهد، که علی‌رغم رسیدن به هدف افزایش سرعت همگرایی مطابق آنچه در شکل ۳ نشان داده شد و در مورد آن بحث گردید، زمان اجرای روش پیشنهادی در مقایسه با برخی از روشهای ساده‌تر بیشتر است. این موضوع البته تا حدودی قابل پیش‌بینی بود زیرا روش پیشنهادی در هر تکرار (نسل) از عملگرهای بیشتری استفاده می‌کند. برای مثال عملگرهای جهش و ادغام خود سربار اضافه بر الگوریتم تحمیل می‌کنند. با این حال این افزایش زمان بهایی است که در ازای افزایش سرعت همگرایی و همگرایی دقیقتر به بهینه سراسری پرداخت شده است. البته بازبینی در پیاده‌سازی روش و تعداد انجام این عملگرها می‌تواند این نقیصه را نیز کاهش دهد.

جدول ۷ مقایسه متوسط زمان الگوریتم پیشنهادی با الگوریتم‌های بهینه‌سازی دیگر بر روی توابع محک بر حسب ثانیه

| تابع | ALO | GWO | MFO | MVO | PSO | SCA | WOA | DFCMWOA |
|------|---------|---------|---------|----------|---------|---------|---------|---------|
| F01 | ۱,۵۹۳۰۷ | ۰,۴۷۳۰۲ | ۰,۴۰۳۷۷ | ۰,۶۵۹۳۰ | ۰,۲۱۷۶۶ | ۰,۳۷۱۵۴ | ۰,۳۲۸۵۸ | ۱,۳۶۲۲۷ |
| F02 | ۱,۶۹۵۱۷ | ۰,۴۳۷۲۵ | ۰,۴۱۱۴۹ | ۰,۵۳۷۶۷ | ۰,۲۳۹۰۰ | ۰,۳۹۶۳۴ | ۰,۳۴۹۱۱ | ۱,۳۰۶۶۳ |
| F03 | ۱,۷۰۳۳۸ | ۰,۹۱۰۸۹ | ۰,۸۹۵۶۸ | ۰,۹۰۱۹۳۷ | ۰,۷۵۷۰۶ | ۰,۸۶۲۵۶ | ۰,۸۴۳۸۳ | ۱,۴۵۵۷۳ |

| | | | | | | | | |
|---------|---------|---------|---------|----------|----------|---------|---------|---------|
| F04 | ۱,۶۲۵۰۰ | ۰,۳۸۲۹۲ | ۰,۴۱۵۸۸ | ۰,۵۰۸۳۶ | ۰,۱۹۹۰۵ | ۰,۳۴۲۶۸ | ۰,۳۰۱۲۱ | ۱,۲۷۷۲۷ |
| F05 | ۱,۶۳۶۷۵ | ۰,۴۷۰۳۲ | ۰,۴۵۳۱۵ | ۰,۵۹۰۴۹ | ۰,۲۸۹۱۱ | ۰,۴۴۴۷۱ | ۰,۴۱۷۹۶ | ۱,۳۱۰۰۱ |
| F06 | ۱,۶۲۲۲۳ | ۰,۳۶۵۰۸ | ۰,۳۶۴۳۷ | ۰,۴۹۵۲۴ | ۰,۱۹۴۷۳ | ۰,۳۳۴۷۰ | ۰,۳۰۹۳۷ | ۱,۲۷۰۳۱ |
| F07 | ۱,۶۳۳۵۰ | ۰,۵۰۷۰۳ | ۰,۴۷۷۱۲ | ۰,۶۱۶۰۲ | ۰,۳۲۲۷۶ | ۰,۴۵۸۴۲ | ۰,۴۴۰۵۸ | ۱,۲۸۷۶۱ |
| F08 | ۱,۶۲۴۳۶ | ۰,۴۶۸۰۵ | ۰,۴۴۸۰۲ | ۰,۴۹۹۱۸ | ۰,۲۸۷۹۴ | ۰,۴۳۱۸۷ | ۰,۴۰۳۷۸ | ۱,۶۹۴۶۰ |
| F09 | ۱,۶۲۱۴۲ | ۰,۳۹۲۵۴ | ۰,۳۸۵۰۴ | ۰,۵۴۳۰۴ | ۰,۲۱۸۸۰ | ۰,۳۶۷۷۳ | ۰,۳۲۴۴۸ | ۱,۲۴۰۹۴ |
| F10 | ۱,۶۲۱۳۳ | ۰,۴۴۴۴۱ | ۰,۴۵۶۴۸ | ۰,۶۰۶۰۶ | ۰,۲۷۹۲۵ | ۰,۴۳۷۷۴ | ۰,۳۹۶۲۳ | ۱,۲۷۲۲۰ |
| F11 | ۱,۶۵۸۰۱ | ۰,۵۱۳۴۰ | ۰,۵۲۷۱۹ | ۰,۶۵۲۳۹ | ۰,۳۶۱۳۳ | ۰,۵۱۴۰۲ | ۰,۴۵۸۴۳ | ۱,۲۹۸۱۷ |
| F12 | ۱,۸۰۷۷۸ | ۰,۳۹۹۳۹ | ۰,۶۶۲۴۴ | ۰,۱۶۲۸۰ | ۰,۱۰۹۱۱۸ | ۰,۱۲۲۱۱ | ۰,۱۳۱۰۷ | ۱,۶۲۲۷۸ |
| F13 | ۲,۲۰۱۳۱ | ۰,۲۷۳۹۰ | ۰,۳۰۹۵۰ | ۰,۱۵۲۰۶ | ۰,۱۱۲۰۴۶ | ۰,۱۴۲۲۵ | ۰,۱۲۲۰۳ | ۲,۳۳۸۶۲ |
| F14 | ۱,۱۱۲۸۰ | ۰,۴۲۰۸۳ | ۰,۴۳۱۶۰ | ۰,۴۴۷۵۳ | ۰,۳۸۸۴۹ | ۰,۳۹۸۲۳ | ۰,۳۹۴۲۰ | ۳,۳۱۴۲۹ |
| F15 | ۱,۰۴۸۴۰ | ۰,۶۱۰۹۵ | ۰,۴۳۲۰۱ | ۰,۶۳۱۱۸ | ۰,۴۰۱۵۲ | ۰,۶۶۶۷۸ | ۰,۶۸۰۲۴ | ۱,۷۲۴۸۴ |
| F16 | ۰,۶۱۴۰۵ | ۰,۲۶۲۳۷ | ۰,۳۵۶۳۴ | ۰,۴۵۰۵۶ | ۰,۱۶۷۸۷ | ۰,۳۲۶۳۹ | ۰,۳۳۳۳۴ | ۳,۱۰۶۴۵ |
| F17 | ۰,۹۱۰۰۵ | ۰,۳۱۵۹۶ | ۰,۳۶۲۵۹ | ۰,۴۱۵۴۴ | ۰,۲۷۰۰۳ | ۰,۲۲۴۲۶ | ۰,۲۲۱۲۷ | ۳,۴۴۵۸۷ |
| F18 | ۰,۵۲۰۶۴ | ۰,۲۳۰۳۲ | ۰,۲۷۰۲۵ | ۰,۳۳۳۷۲ | ۰,۱۷۴۱ | ۰,۲۳۷۳۳ | ۰,۲۲۲۹۱ | ۲,۵۸۳۲۴ |
| F19 | ۰,۹۹۴۳۳ | ۰,۵۱۷۱۸ | ۰,۵۲۴۱۲ | ۰,۹۵۲۴۴ | ۰,۴۰۵۸۵ | ۰,۴۹۰۶۱ | ۰,۴۷۶۴۳ | ۲,۴۱۳۳۰ |
| F20 | ۱,۷۲۱۲۱ | ۰,۴۳۱۶۵ | ۰,۴۶۸۴۱ | ۰,۵۳۹۱۸ | ۰,۲۱۳۱ | ۰,۴۳۹۴۸ | ۰,۵۴۸۴ | ۱,۴۵۱۶۵ |
| F21 | ۱,۱۵۱۶۵ | ۰,۱۱۶۵۴ | ۰,۱۹۱۱۸ | ۰,۱۰۲۰۳۴ | ۰,۱۰۵۴۴ | ۰,۹۸۵۱۶ | ۰,۸۴۵۱ | ۱,۲۸۶۴ |
| F22 | ۲,۲۱۳۱۶ | ۰,۳۶۵۴۶ | ۰,۳۵۷۲۱ | ۰,۲۳۲۶۸ | ۰,۰۹۸۷ | ۰,۱۵۱۶۶ | ۰,۱۱۱۵ | ۲,۲۱۳۵۱ |
| F23 | ۱,۶۱۳۲۱ | ۰,۸۲۳۲ | ۰,۷۶۵۰۶ | ۰,۸۹۰۲۹ | ۰,۴۵۱۶۵ | ۰,۶۵۴۶ | ۰,۵۱۵۱ | ۱,۲۴۶۱۲ |
| میانگین | ۱,۴۷۵ | ۰,۴۴ | ۰,۴۵ | ۰,۵۱ | ۰,۲۷ | ۰,۴۲۶ | ۰,۳۹۸ | ۱,۸ |

۷- نتیجه گیری

همان طور که اشاره شد فرایند جستجو در الگوریتم های فرااكتشافی را می توان به دو فاز اکتشاف و بهره برداری تقسیم کرد. اجرای متعادل این دو فاز در الگوریتم های فرااكتشافی باعث بهبود عملکرد الگوریتم می شود. در این پژوهش به منظور بهبود جستجوی الگوریتم WOA، فاز اکتشاف و بهره برداری این الگوریتم را به طور ایستا و پویا بهبود دادیم. به منظور بهبود ایستا

فاز اکتشاف و بهره‌برداری این الگوریتم، یک روش ترکیبی جدید با استفاده از اصل تکاملی داروین و عملگرهای ادغام و جهش الگوریتم ژنتیک ارائه کردیم. در این روش ترکیبی از عملگر ادغام و جهش به ترتیب به منظور بهبود فاز بهره‌برداری و اکتشاف الگوریتم استفاده شده است. عملگر جهش با فراهم کردن شرایط تصادفی بیشتر برای الگوریتم، باعث بهبود فاز اکتشاف الگوریتم می‌شود. عملگر ادغام با فراهم کردن ادغام بهترین موقعیت با دیگر عناصر جستجو باعث بهبود فاز بهره‌برداری الگوریتم شده است. همچنین به منظور بهبود پویای این فازها از یک FIS استفاده شده است. استفاده از FIS در روش پیشنهادی باعث می‌شود فازهای اکتشاف و بهره‌برداری در هر بار اجرای الگوریتم و به صورت پویا تنظیم شوند که این کار باعث تعادل بهتر این دو فاز شده و در نتیجه باعث بهبود فرایند جستجوی الگوریتم می‌شود.

به منظور ارزیابی روش پیشنهادی از بیست و سه تابع محک استفاده شده است. در ابتدا عملکرد روش پیشنهادی با ترکیب‌های تکاملی دیگر مورد مقایسه قرار گرفت که نتایج به دست آمده نشان داد روش پیشنهادی بهترین روش ترکیبی است. سپس روش پیشنهادی با هفت الگوریتم بهینه‌سازی مورد مقایسه قرار گرفت. نتایج به دست آمده نشان داد روش پیشنهادی عملکرد بهتری در رسیدن به راه‌حل بهینه بهتر دارد. همچنین بررسی فرایند بهینه‌سازی در الگوریتم‌های مورد بررسی نشان داد روش پیشنهادی سرعت همگرایی بالاتری نیز دارد. بنابراین می‌توان نتیجه گرفت که روش پیشنهادی عملکرد بهتری نسبت به الگوریتم WOA استاندارد و جدیدترین روش‌های بهینه‌سازی مورد بررسی دارد.

از آنجا که علی‌رغم افزایش سرعت همگرایی الگوریتم به بهینه سراسری و رسیدن به آن در تعداد نسل‌های کمتر، زمان اجرای الگوریتم به طور متوسط از سایر روشها بالاتر است، یکی از بهبودهایی که می‌توان در این الگوریتم ایجاد کرد، تغییر ساختار و بهینه‌سازی استفاده از عملگرهای آن است. یکی دیگر از کارهای آینده نیز طبیعتاً استفاده از رویکرد پیشنهادی در یک مساله دنیای واقعی خواهد بود.

مراجع

- [1] J. H. Holland, *Adaptation in natural and artificial systems: an introductory analysis with applications to biology, control, and artificial intelligence*: U Michigan Press, 1975.
- [2] K. James and E. Russell, "Particle swarm optimization," in *Proceedings of 1995 IEEE International Conference on Neural Networks*, 1995, pp. 1942-1948.
- [3] M. Dorigo, M. Birattari, and T. Stutzle, "Ant colony optimization," *IEEE computational intelligence magazine*, vol. 1, pp. 28-39, 2006.
- [4] D. Karaboga and B. Basturk, "A powerful and efficient algorithm for numerical function optimization: artificial bee colony (ABC) algorithm," *Journal of global optimization*, vol. 39, pp. 459-471, 2007.
- [5] X.-S. Yang, "Firefly algorithm, stochastic test functions and design optimisation," *International Journal of Bio-Inspired Computation*, vol. 2, pp. 78-84, 2010.
- [6] E. Rashedi, H. Nezamabadi-Pour, and S. Saryazdi, "GSA: a gravitational search algorithm," *Information sciences*, vol. 179, pp. 2232-2248, 2009.

- [7] D. Simon, "Biogeography-based optimization," *IEEE transactions on evolutionary computation*, vol. 12, pp. 702-713, 2008.
- [8] X.-S. Yang and S. Deb, "Cuckoo search via Lévy flights," in *Nature & Biologically Inspired Computing, 2009. NaBIC 2009. World Congress on*, 2009, pp. 210-214.
- [9] X.-S. Yang, "A new metaheuristic bat-inspired algorithm," in *Nature inspired cooperative strategies for optimization (NICSO 2010)*, ed: Springer, 2010, pp. 65-74.
- [10] S. Mirjalili, "The ant lion optimizer," *Advances in Engineering Software*, vol. 83, pp. 80-98, 2015.
- [11] S. Mirjalili, S. M. Mirjalili, and A. Lewis, "Grey wolf optimizer," *Advances in Engineering Software*, vol. 69, pp. 46-61, 2014.
- [12] S. Mirjalili, S. M. Mirjalili, and A. Hatamlou, "Multi-verse optimizer: a nature-inspired algorithm for global optimization," *Neural Computing and Applications*, vol. 27, pp. 495-513, 2016.
- [13] S. Mirjalili, "SCA: a sine cosine algorithm for solving optimization problems," *Knowledge-Based Systems*, vol. 96, pp. 120-133, 2016.
- [14] S. Mirjalili, "Moth-flame optimization algorithm: A novel nature-inspired heuristic paradigm," *Knowledge-Based Systems*, vol. 89, pp. 228-249, 2015.
- [15] S. Mirjalili and A. Lewis, "The Whale Optimization Algorithm," *Advances in Engineering Software*, vol. 95, pp. 51-67, 2016.
- [16] O. Olorunda and A. P. Engelbrecht, "Measuring exploration/exploitation in particle swarms using swarm diversity," in *Evolutionary Computation, 2008. CEC 2008. (IEEE World Congress on Computational Intelligence). IEEE Congress on*, 2008, pp. 1128-1134.
- [17] E. Alba and B. Dorronsoro, "The exploration/exploitation tradeoff in dynamic cellular genetic algorithms," *IEEE Transactions on Evolutionary Computation*, vol. 9, pp. 126-142, 2005.
- [18] N. Mittal, U. Singh, and B. S. Sohi, "Modified grey wolf optimizer for global engineering optimization," *Applied Computational Intelligence and Soft Computing*, vol. 2016, p. 8, 2016.
- [19] L. Wang, D.-Z. Zheng, and Q. Lin, "Survey on chaotic optimization methods," *Computing Technology and Automation*, vol. 20, pp. 1-5, 2001.
- [20] N. Higashi and H. Iba, "Particle swarm optimization with Gaussian mutation," in *Swarm Intelligence Symposium, 2003. SIS'03. Proceedings of the 2003 IEEE*, 2003, pp. 72-79.
- [21] G.-G. Wang, L. Guo, A. H. Gandomi, A. H. Alavi, and H. Duan, "Simulated annealing-based krill herd algorithm for global optimization," in *Abstract and Applied Analysis*, 2013.
- [22] J. Tillett, T. Rao, F. Sahin, and R. Rao, "Darwinian particle swarm optimization," 2005.
- [23] S.-M. Guo and C.-C. Yang, "Enhancing differential evolution utilizing eigenvector-based crossover operator," *IEEE Transactions on Evolutionary Computation*, vol. 19, pp. 31-49, 2015.
- [24] X. Yan, Y. Zhu, H. Chen, and H. Zhang, "A novel hybrid artificial bee colony algorithm with crossover operator for numerical optimization," *Natural Computing*, vol. 14, pp. 169-184, 2015.
- [25] S. Kumar, V. K. Sharma, and R. Kumari, "A novel hybrid crossover based artificial bee colony algorithm for optimization problem," *arXiv preprint arXiv:1407.5574*, 2014.
- [26] S. Chakraborty, A. K. Saha, R. Chakraborty, M Saha, An enhanced whale optimization algorithm for large scale optimization problems, *Knowledge-Based Systems*, vol. 233, 2021,107543, <https://doi.org/10.1016/j.knosys.2021.107543>.

- [27] M. H. Nadimi-Shahraki, H. Zamani, Seyedali Mirjalili, Enhanced whale optimization algorithm for medical feature selection: A COVID-19 case study, *Computers in Biology and Medicine*, vol. 148, 2022, 105858, ISSN 0010-4825, <https://doi.org/10.1016/j.combiomed.2022.105858>.
- [28] X. Lin, X. Yu, W. Li, A heuristic whale optimization algorithm with niching strategy for global multi-dimensional engineering optimization, *Computers & Industrial Engineering*, vol. 171, 2022, 108361, <https://doi.org/10.1016/j.cie.2022.108361>.
- [29] K. Reddy, A. K. Saha, A modified Whale Optimization Algorithm for exploitation capability and stability enhancement, *Heliyon*, 2022, e11027, <https://doi.org/10.1016/j.heliyon.2022.e11027>.
- [30] K. Kamal A. Ghany, A.M. AbdelAziz, T. H. A. Soliman, A. Sewisy, A hybrid modified step Whale Optimization Algorithm with Tabu Search for data clustering, *Journal of King Saud University - Computer and Information Sciences*, vol. 34, Issue 3, 2022, Pages 832-839, <https://doi.org/10.1016/j.jksuci.2020.01.015>.
- [31] W-H. Tan, J. Mohamad-Saleh, A hybrid whale optimization algorithm based on equilibrium concept, *Alexandria Engineering Journal*, Volume 68, 2023, Pages 763-786, <https://doi.org/10.1016/j.aej.2022.12.019>.
- [32] A. Bhattacharya, B. Saha, S. Chattopadhyay, R. Sarkar, Deep feature selection using adaptive β -Hill Climbing aided whale optimization algorithm for lung and colon cancer detection, *Biomedical Signal Processing and Control*, Volume 83, 2023, 104692, <https://doi.org/10.1016/j.bspc.2023.104692>.
- [33] F. Zhao, Z. Xu, H. Bao, T. Xu, N. Zhu, A cooperative whale optimization algorithm for energy-efficient scheduling of the distributed blocking flow-shop with sequence-dependent setup time, *Computers & Industrial Engineering*, 2023, 109082, <https://doi.org/10.1016/j.cie.2023.109082>.
- [34] H. Xian, J. Che, Unified whale optimization algorithm based multi-kernel SVR ensemble learning for wind speed forecasting, *Applied Soft Computing*, Volume 130, November 2022, 109690.
- [35] Z. Fan, J. Gou, Predicting body fat using a novel fuzzy-weighted approach optimized by the whale optimization algorithm, *Expert Systems with Applications*, Volume 217, 2023, 119558, <https://doi.org/10.1016/j.eswa.2023.119558>.
- [36] L.-X. Wang, *A course in fuzzy systems*: Prentice-Hall press, USA, 1999.
- [37] L. A. Zadeh, "Fuzzy sets," *Information and control*, vol. 8, pp. 338-353, 1965.
- [38] E. Cox, M. O'Hagan, R. Taber, and M. O'Hagen, *The Fuzzy Systems Handbook with Cdrom*: Academic Press, Inc., 1998.
- [39] S. Sumathi, P. Surekha, and P. Surekha, *Computational intelligence paradigms: theory and applications using MATLAB vol. 1*: CRC Press Boca Raton, FL, USA: 2010.
- [40] W. Khatib and P. J. Fleming, "The stud GA: a mini revolution?" in *International Conference on Parallel Problem Solving from Nature*, 1998, pp. 683-691.